

Hallazgos en angioresonancia arterial encefálica. Nuestra experiencia

Sposito Noelia, Jensen Lucas, Andrade
Ana I., Donato Maren, Salazar Omar,
Zurita Guillermo.

CIMED

Introducción

- Estudio en creciente desarrollo.
- Útil en el análisis de la vasculatura encefálica.
- De rápida adquisición.
- Sin necesidad de medios de contraste.

Objetivos

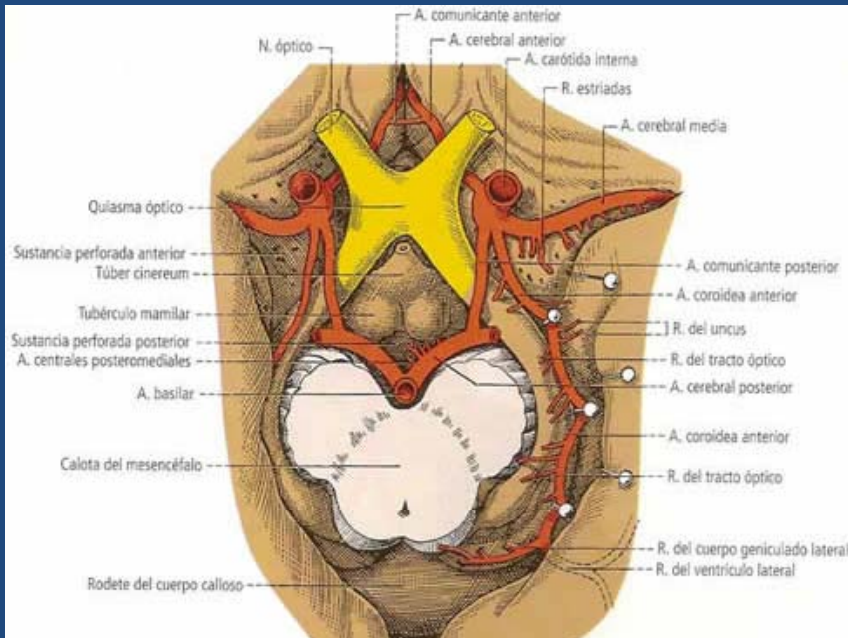
- Analizar el resultado de los estudios realizados.
- Período febrero 2011- febrero 2012.
- De un total de 313 estudios.
- Resonador de alto campo 1,5 Tesla Siemens Symphony.

Procedimientos

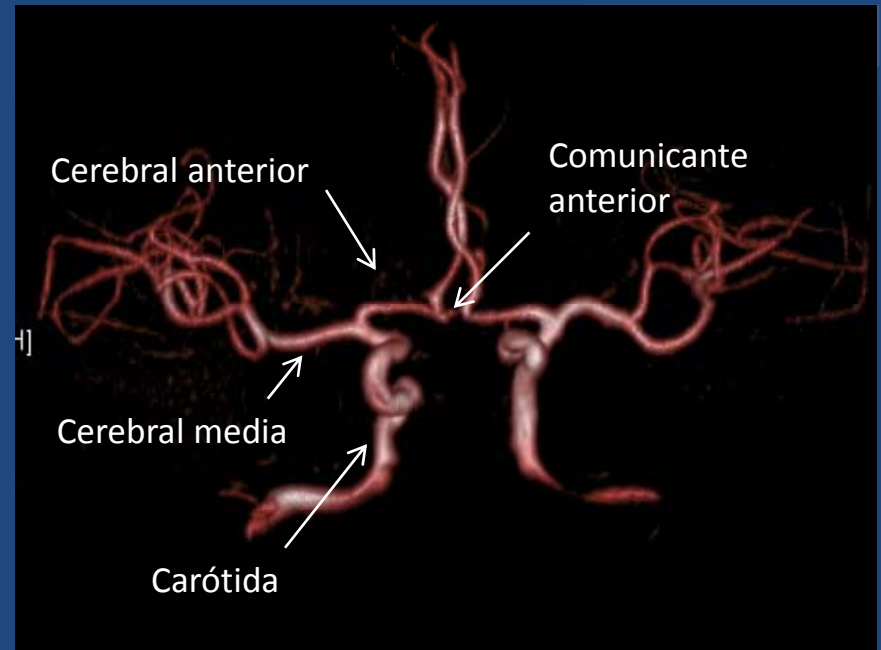
- Se realiza un localizador sagital y coronal. Secuencias axial T2 del encéfalo.
- Posteriormente, secuencia 3D TOF en plano axial-oblicuo.
- Se analizan imágenes en crudo.
- Por último, se procesan en proyección de máxima intensidad (MIP) y volumen rendering (3D).

Angioresonancia normal

- 64,8 %

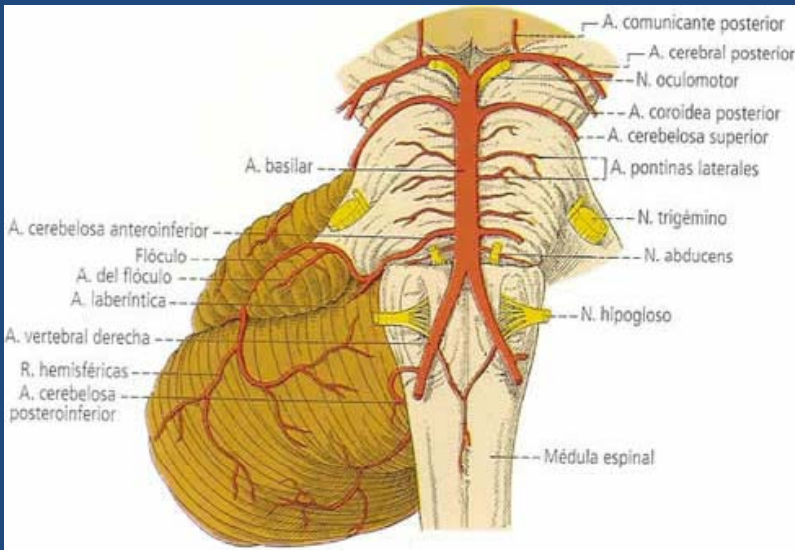


Circuito anterior

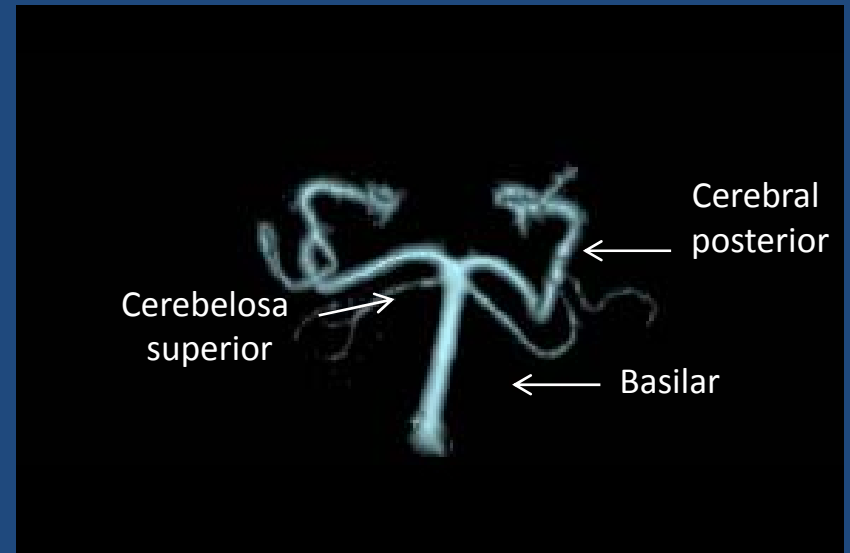


Imágen de reconstrucción volumétrica 3D

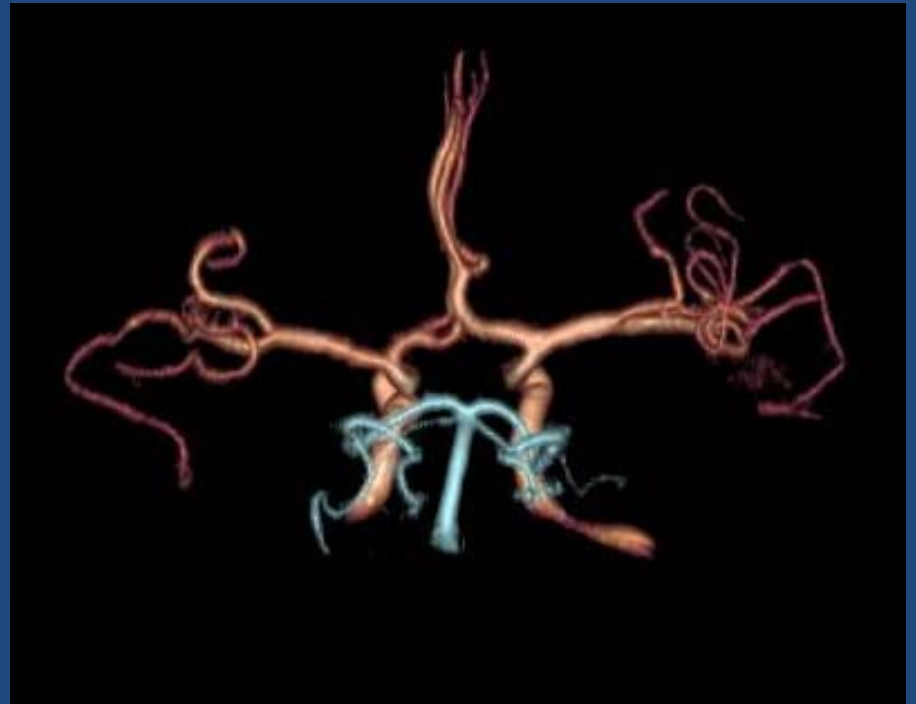
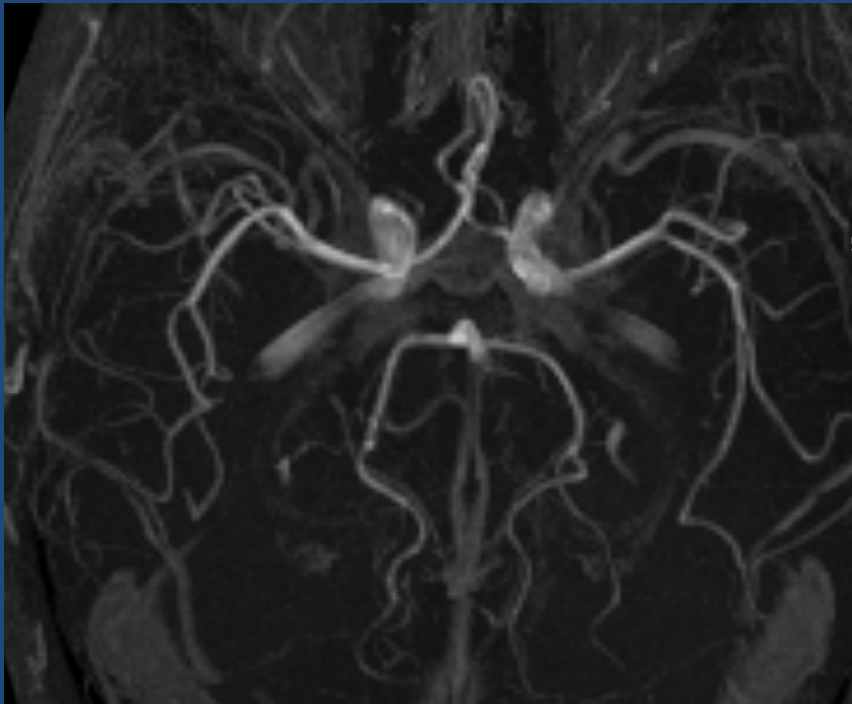
Angioresonancia normal



Circuito posterior



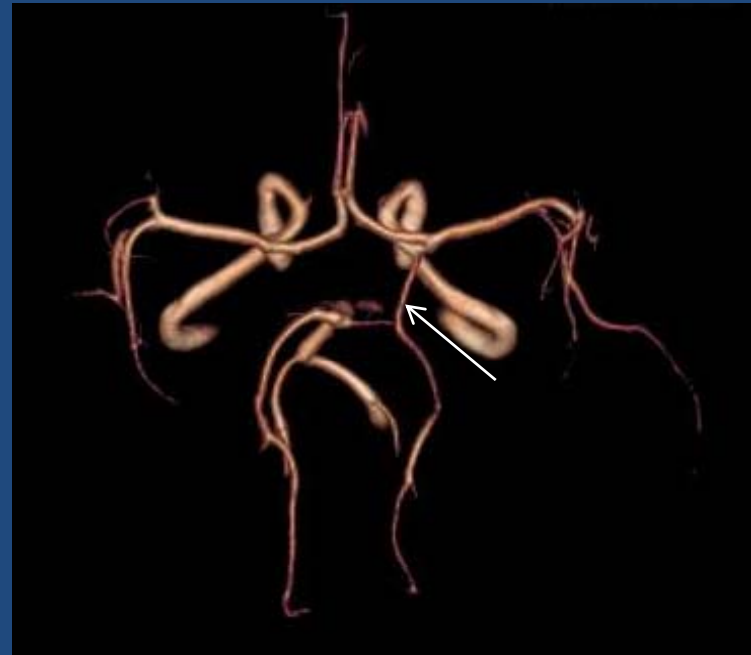
Imágen de reconstrucción volumétrica 3D



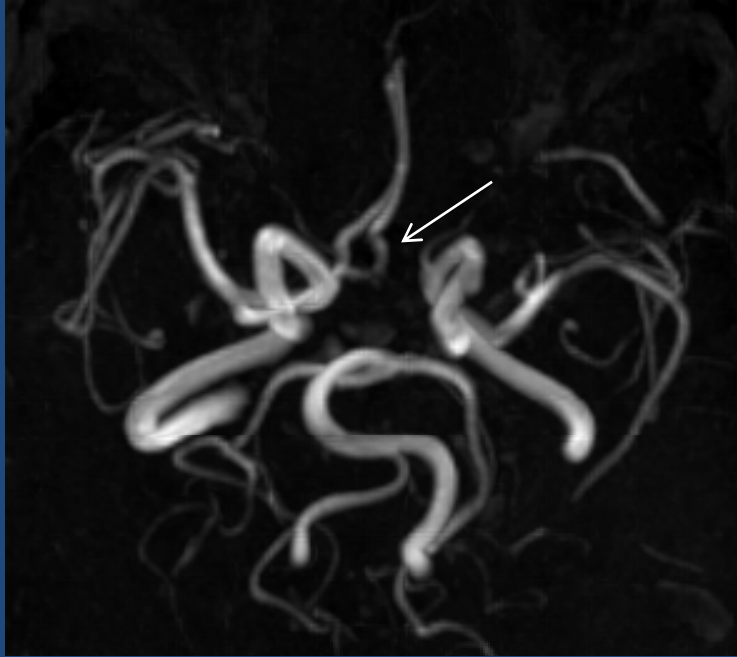
Ambos circuitos

Variantes anatómicas

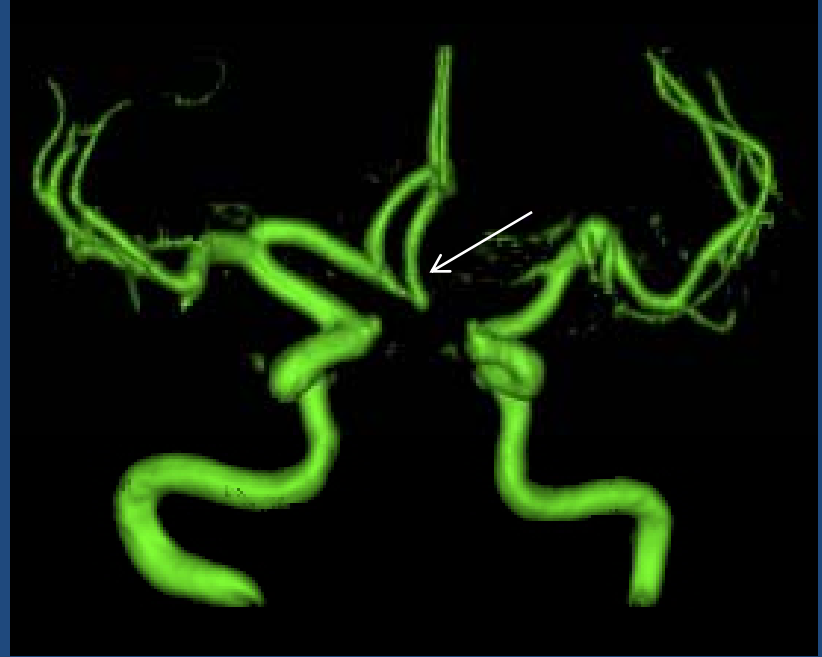
- 24,9 %



Origen fetal AC posterior izquierda



ACAI rama de la carótida derecha



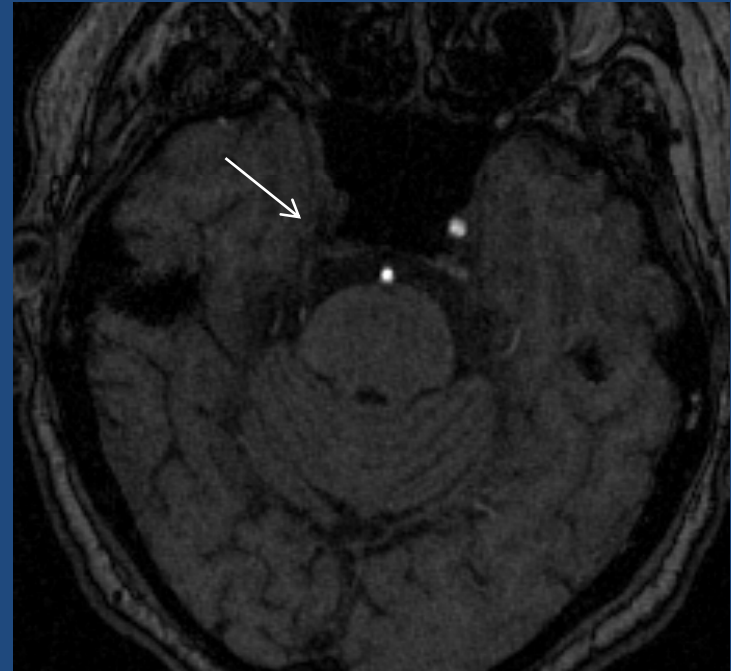
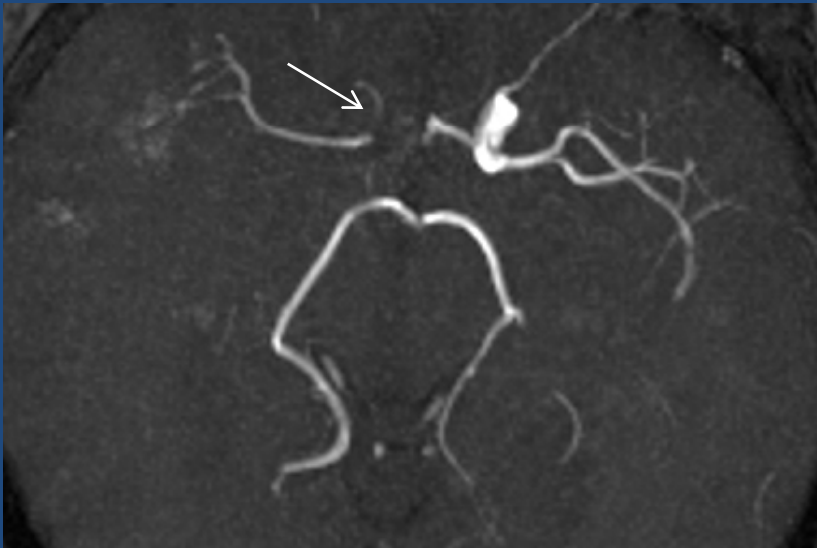
Reconstrucción 3D



Hipoplasia del segmento A1 de la ACAD

Estenosis

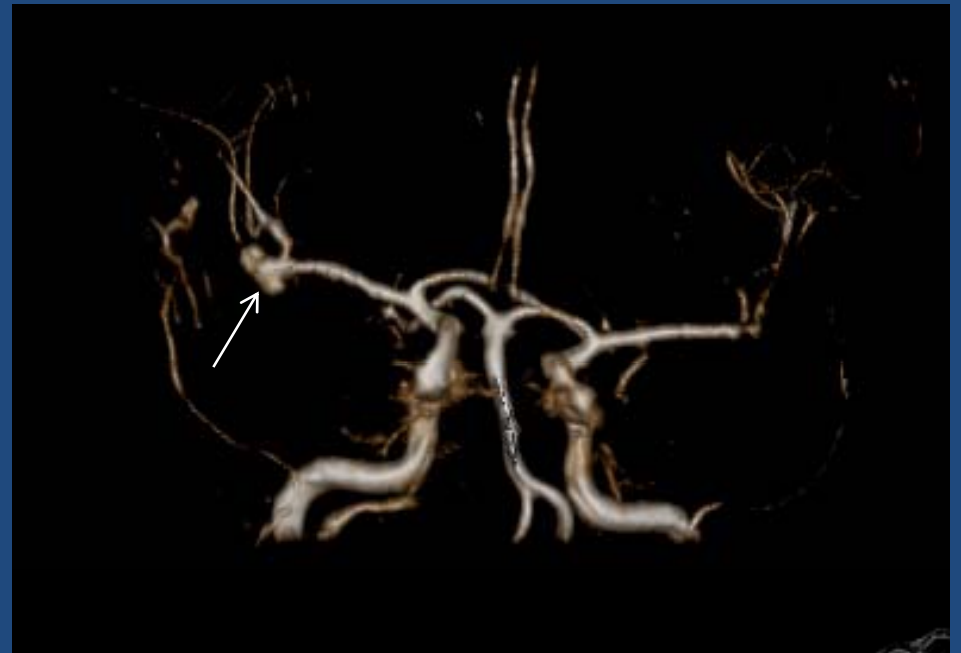
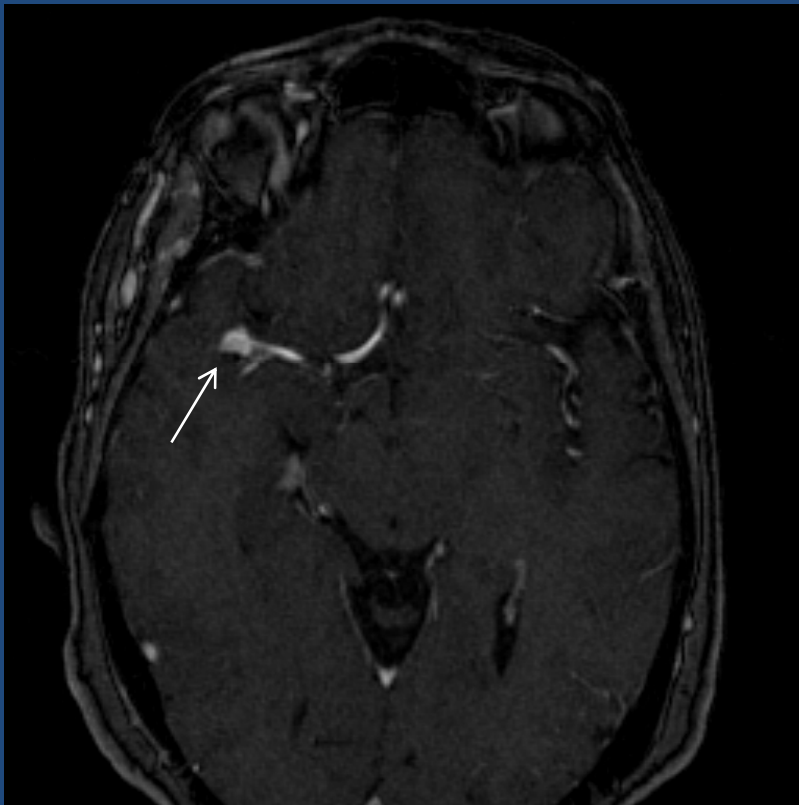
- 6,07 %



Ausencia de señal de la carótida derecha

Aneurismas

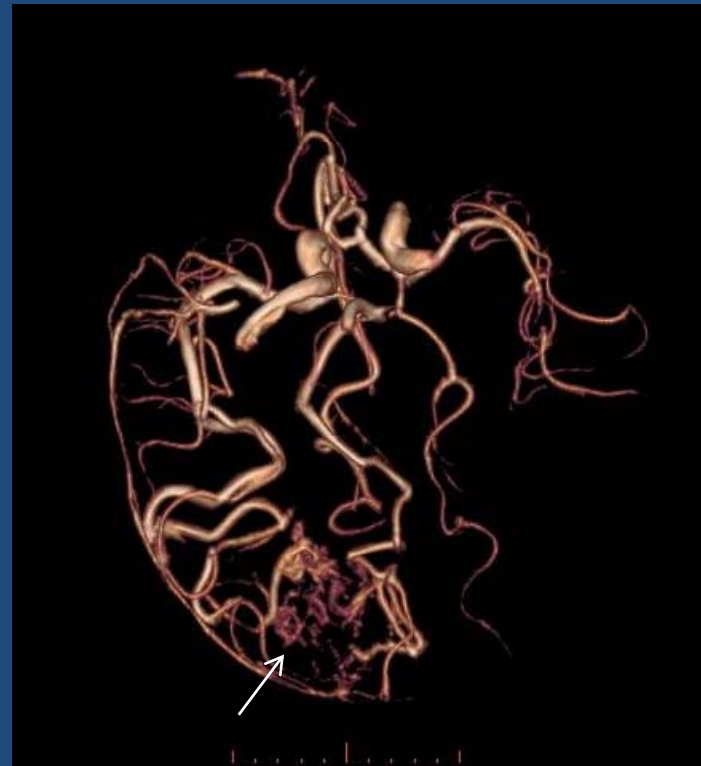
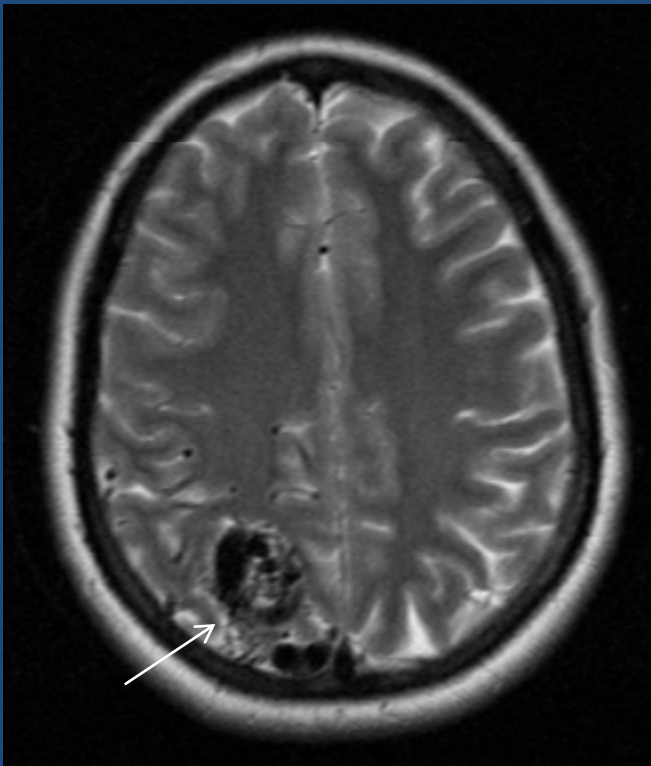
- 2,5 %



Aneurisma de ACMD

Otros hallazgos

- 1,5 %



MAV

Conclusiones

- Estudio no invasivo.
- Rápida adquisición de las imágenes.
- Reconstrucción 3D.

Bibliografía

- Nowinski WL, Thirunavuukarasuu AT, Volkau I, et al. Three-dimensional atlas of the brain anatomy and vasculature. *Radiographics* 2005; 25:263-271.
- Wentland HA, Vigen KK, Field AS. Fetal origin of the posterior cerebral artery produces left-right asymmetry on perfusion imaging. *AJNR Am J Neuroradiol.* 2010; 31: 448-453.
- De Silva KR, Silva R, Amaratunga D, et al. Types of the cerebral arterial circle (circle of Willis) in a Sri Lanka Population. *BMC Neurology* 2001 11:5.
- Boleaga-Durán B, Ameller-Terrazas S, Criales-Cortéz J. Variantes anatómicas del círculo arterial de la base craneal. *Anales de Radiología México* 2004; 4:239-244.
- Pirronello V, Capizzamo AA, Chouela CL, Ternak A, Ramírez S, Mazzuco JC. Cual es el valor de la angioresonancia magnética (ARM) en el accidente cerebro vascular (ACV)? *Rev. Argent. Radiol.* 2004; 68: 109.
- Martínez F, Spagnuolo E, Calvo-Rubal A, Sgarbi N, Soria-Vargas VR, Prinzo H. Variaciones del sector anterior del polígono de Willis. Correlación anatomo-angiográfica y su implicancia en la cirugía de aneurismas intracraneanos. *Neurocirugía* 2004; 15:578-589.
- Grossman RI, Yousem DM. *Neurorradiología. Anatomía vascular.* Ed Marbán 2007; 80-95.